

УДК 535.394

## РАСЧЕТ СПЕКТРОВ МНПВО НА ОСНОВЕ СЛОЕВОЙ МОДЕЛИ

*Л. Н. Кураева и В. М. Золотарев*

С помощью спектроскопии МНПВО исследована природа резонансного взаимодействия неоднородной световой волны с регулярной структурой цилиндрических волокон. Эксперимент выполнен на основной полосе поглощения  $1100 \text{ см}^{-1}$  плавленого кварца для волокон диаметром 10 и 50 мкм. На основе моделирования волокон с помощью слоевой модели, что позволило применить для обработки эксперимента обобщенные уравнения Френеля, показана интерференционная природа обнаруженного резонансного взаимодействия, возникающего в условиях, когда регулярная структура волокон из сильно поглощающего вещества взаимодействует с электромагнитной волной, распространяющейся вблизи границы полного внутреннего отражения.

В работе [1] была предложена слоевая модель для расчета спектров МНПВО порошков и волокон. Расчет результирующего коэффициента отражения, согласно модели, выполняется на основе формул Френеля путем аddитивного сложения световых пучков, отраженных от отдельных плоско-параллельных ступенек, которыми моделируется поверхность объекта. Число таких ступенек определяется глубиной проникновения светового пучка в менее плотную исследуемую среду. Для цилиндрических волокон измеряемый коэффициент отражения  $R$  есть среднее арифметическое значений отражения для всех ступенек

$$R = \frac{1}{m} \sum_{k=1}^m R_k,$$

где  $m$  — число ступенек,  $k$  — порядковый номер ступенек,  $R_k$  — коэффициент отражения  $k$ -й ступеньки, определенный по формулам Френеля с учетом оптических свойств трех граничащих сред: элемент МНПВО — промежуточная среда (воздух) — волокно.

Первая ступенька совпадает с плоскостью элемента МНПВО. При расчете  $R_k$  предполагается идентичность оптических свойств ступенек.

Развитый в [1] модельный подход накладывает ограничения на экспериментальные параметры: угол падения  $\Theta \geq \Theta_{\text{кр}}$  и диаметр волокна  $\varnothing \geq \lambda_{\text{эфф.}} = \lambda_{\text{вакум}} / n_1 \cos \Theta$ , где  $n_1$  — показатель преломления элемента МНПВО.

В настоящее время существующая дифракционная теория позволяет описывать взаимодействие света с регулярными решетками, образованными элементами с высокой проводимостью (металлические решетки) [2]. Однако строгое описание взаимодействия световой волны в условиях внутреннего отражения с регулярными структурами из поглощающих диэлектрических материалов встречает большие трудности. Поэтому модельный подход, в котором используются сравнительно простые уже разработанные приемы расчета, на сегодня представляется наиболее доступным для практики. Проверка модели была выполнена в [1] на порошках, которые имели большую вариацию размеров и огранич. В связи с этим появляется необходимость строгой проверки слоевой модели на

объектах с точно выдержаными размерами и хорошо известными оптическими постоянными. Проверка работы модели представляется тем более необходимой, что метод МНПВО становится в настоящее время основным приемом изучения спектров в области основных колебательных полос полимерных волокон [3]. Попутно следует отметить, что метод пропускания в принципе не позволяет количественно получать спектры волокон  $\varnothing \geq 10$  мкм в областях интенсивных колебательных полос из-за полного поглощения света в толще волокна. Наблюдаемые в эксперименте с многослойной укладкой волокон полосы обусловлены прохождением света через соприкасающиеся участки соседних волокон (шейки).

По-видимому, идеальным объектом в эксперименте, связанном с проверкой слоевой модели, могут быть цилиндрические волокна плавленого кварца, которые не деформируются при укладке и для которых значения оптических постоянных измерены с высокой степенью точности. Для модельных расчетов использовались значения  $n_3 = n_3 - ix_3$  плавленого кварца из работ [4, 5]. Эксперимент выполнен с кварцевыми волокнами  $\varnothing 50$  и  $10$  мкм, полученными вакуумно-компрессионным методом во ВНИИ стеклопластиков и стекловолокна и содержащих 99.99%  $\text{SiO}_2$  [6]. Следует ожидать, что оптические свойства волокон в области основной полосы связи  $\text{Si}-\text{O}$  ( $1060 \text{ см}^{-1}$ ) будут аналогичными кварцевому стеклу. Согласно данным [5], сферы из плавленого кварца  $\varnothing 300 \text{ \AA}$  по своим оптическим свойствам ничем не отличались от массивных образцов кварцевого стекла [4].

Из сравнения расчета и эксперимента, который выполнен на серийном ИК спектрофотометре с приставкой МНПВО-3 [7] (поляризатор — решетка 1200 штр./мм на подложке из стекла ИКС-25) (рис. 1) видно, что наилучшее согласие сравниваемых контуров полос наблюдается для *s*-поляризации, причем данные почти не зависят от размеров волокна. Для *p*-поляризации в эксперименте детали на контуре полосы не проявляются так четко, как в расчетном спектре. Лучшее совпадение расчета и эксперимента наблюдается для волокон меньшего диаметра.

Отсутствие деталей для контура полосы волокон  $\varnothing 50$  мкм объясняется более значимым вкладом в результирующий коэффициент отражения по сравнению с расчетом участков волокон, граничащих с поверхностью элемента МНПВО. В расчете принималось контактирование по образующей цилиндра (линия), в эксперименте контакт происходит по площадкам в силу отступления реальных поверхностей от идеальных. Совпадение положения основного максимума ( $1060 \text{ см}^{-1}$ ) в расчете и эксперименте убедительно свидетельствует в пользу такого объяснения.

Полосы  $1060, 1150 \text{ см}^{-1}$  относятся соответственно к объемным и поверхностным (поляритон) колебаниям плавленого кварца [1]. Следует отметить отсутствие влияния регулярности укладки волокон на вид спектра. Полученные результаты подтверждают работоспособность модели [1].

Нарушение условия  $\varnothing > \lambda_{\text{эфф.}}$ , при котором каждое волокно в рамках модели [1] рассматривается в виде элемента, индивидуально взаимодействующего со световой волной, приводит к появлению интересных эффектов. Изменение величины  $\lambda_{\text{эфф.}}$ , которая пропорциональна глубине проникновения света в исследуемую среду (система из уложенных волокон), может быть осуществлено за счет вариации свойств диэлектрика, в котором находятся волокна или путем выбора элемента МНПВО с меньшим значением  $n_1$ . Нами были осуществлены оба способа отдельно и в комбинации.

Все они привели качественно к одному результату: в спектре МНПВО кварцевого волокна  $\varnothing 10$  мкм при  $880, 935$  и  $975 \text{ см}^{-1}$  появились резкие экстремумы (рис. 2, *a*). В то же время в спектрах волокон  $\varnothing 50$  мкм, полученных в аналогичных условиях, этот эффект выражен существенно слабее (при  $930 \text{ см}^{-1}$  появляется диффузная полоса). С целью изучения природы полос варьировались условия эксперимента (угол падения,

глубина проникновения и др.). При этом наблюдались сдвиги указанных полос на  $15 \div 20 \text{ см}^{-1}$ , а также изменение их относительной интенсивности. Количество и положение полос существенно не зависели от рода поляри-

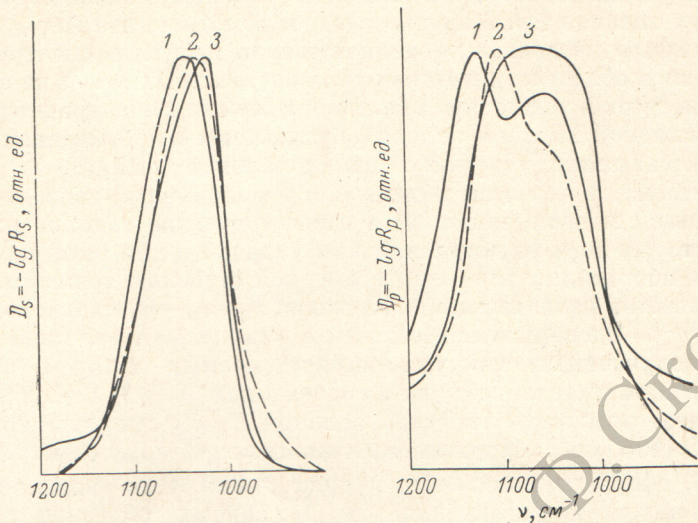


Рис. 1. Спектры МНПВО плотно упакованных волокон.

1 — расчет по слоевой модели, 2 — эксперимент ( $\varnothing 10 \text{ мкм}$ ), 3 — эксперимент ( $\varnothing 50 \text{ мкм}$ ); данные получены для элемента Ge,  $\Theta = 45^\circ$ .

зации. Для волокон были дополнительно получены спектры пропускания, в которых присутствовали только две полосы поглощения  $1100$  и  $800 \text{ см}^{-1}$ , соответствующие колебаниям Si—O-группы. Таким образом,

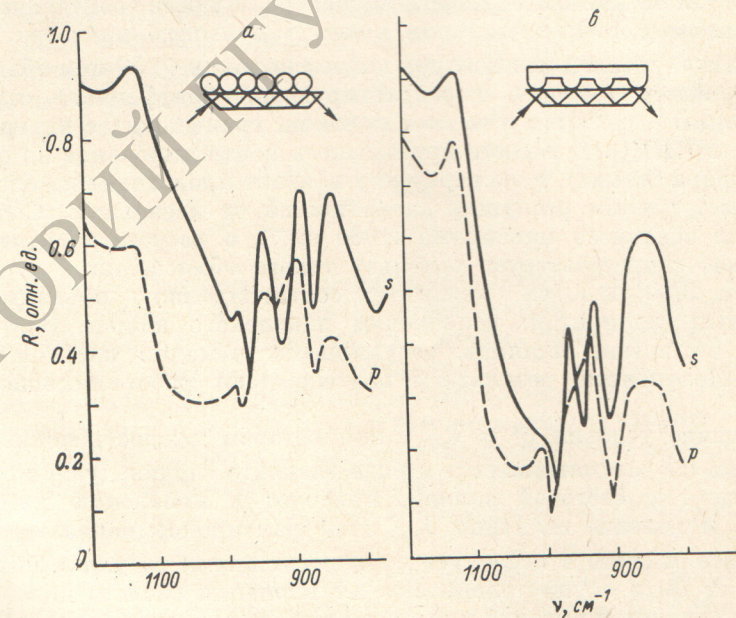
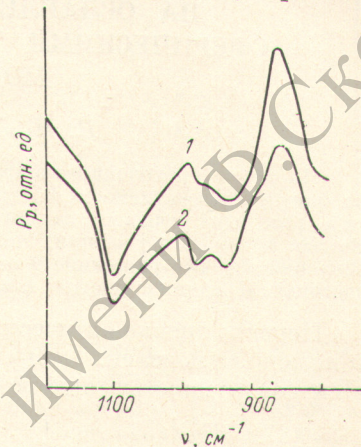


Рис. 2. Экспериментальные спектры МНПВО плотно упакованных волокон  $\varnothing 10 \text{ мкм}$  (элемент КРС-5,  $\Theta = 45^\circ$ ,  $N = 6$ ) (а) и результаты расчета спектров МНПВО на основе модифицированной слоевой модели (б).

можно считать установленным, что появление полос в области  $880 \div 1000 \text{ см}^{-1}$  обусловлено не структурно-химическим составом материала волокон, а интерферционно-дифракционными явлениями, которые возникают в силу особенностей взаимодействия неоднородной световой волны

с участками волокон, находящимися в контакте между собой. Если волокна  $\varnothing 10$  мкм раздвинуть на расстояние  $\geq 2\varnothing$ , то спектры, получаемые в этих условиях, будут подобны тем, которые характеризуют плотно уложенные волокна  $\varnothing 50$  мкм (рис. 3). В дальнейшем была промоделирована расчетным путем ситуация, возникающая в случае плотно уложенных волокон  $\varnothing 10$  мкм при увеличении глубины проникновения света в исследуемую среду. Система плотно уложенных волокон представлялась в виде периодической решетки из полуцилиндров, соединенных перемычками. Нижняя часть решетки соприкасается с элементом МНПВО, а верхняя перемычка толщиной 4–6 мкм удалена от поверхности элемента на расстояние 0.5  $\varnothing$ . По формулам Френеля для такой системы рассчитывался суммарный коэффициент отражения. В расчетном спектре (рис. 2, б) в области  $900 \div 1000 \text{ см}^{-1}$  присутствовали три полосы с частотами, близкими к наблюдаемым. Модельный подход, развитый в настоящей работе, позволяет утверждать, что обнаруженные резонансные эффекты имеют интерференционную природу, причем резонансное взаимодействие света с объектом определяется главным образом перемычками между соприкасающимися цилиндрическими волокнами. Часть спектра  $980 \div 880 \text{ см}^{-1}$ , где обнаружены резонансные полосы, является для плавленого кварца областью прозрачности, но при этом показатель преломления имеет силь-

Рис. 3. Спектры МНПВО плотно упакованных кварцевых волокон  $\varnothing 50$  мкм (1) и кварцевых волокон  $\varnothing 10$  мкм, раздвинутых на расстояние  $\geq 2\varnothing$  (2).



ную дисперсию. Наличие углублений между соседними волокнами, сравнимых с длиной волны, при резко выраженной дисперсии материала волокон создает благоприятную возможность для проявления резонансных взаимодействий в такого рода регулярных структурах. Близкий по физической сути эксперимент был выполнен в СВЧ диапазоне [8], где также удалось наблюдать сильные резонансные эффекты в условиях преобразования поверхностных волн с помощью П-образной металлической решетки в объемные волны.

В заключение следует отметить, что для волокон полимеров, спектры которых характеризуются сравнительно слабыми полосами поглощения ( $x_3 \leq 0.1$ ), эти эффекты выражены менее значительно, что облегчает использование метода спектроскопии НПВО для задач структурного анализа волокон полимеров.

Выполненные опыты показывают значение правильного выбора условий эксперимента при изучении волокон методом НПВО.

#### Литература

- [1] В. М. Золотарев. Опт. и спектр., 37, 523, 1974.
- [2] В. П. Шестопалов. Дифракция волн на решетках. Изд. Харьк. ГУ, 1973.
- [3] И. Дехант. Инфракрасная спектроскопия полимеров. «Химия», М., 1976.
- [4] В. М. Золотарев. Опт. и спектр., 29, 66, 1970.
- [5] T. R. Steyer. Appl. Opt., 13, 1586, 1974.
- [6] М. С. Асланова, С. Г. Климанов. Изв. АН СССР, Неорганич. матер., 11, 890, 1975.
- [7] А. В. Демин, Л. Н. Кураева. Тез. докл. I Всесоюзн. совещ. «Применение спектроскопии нарушенного полного внутреннего отражения (НПВО) в народном хозяйстве», 30. Сумгait, 1976.
- [8] С. Д. Андреенко, В. П. Шестопалов. Экспериментальные исследования преобразования поверхностных волн в объемные в миллиметровом диапазоне. Препринт ИРЕ АН УССР, Харьков, 1975.